



Laboratorium EMVO Sp. J. Urbański, Pawełak

ul. Jasna 1  
00-013 Warszawa

tel. +48 22 780 29 64

e-mail: laboratorium@emvo.pl



AB 1630

## Sprawozdanie z pomiarów pól elektromagnetycznych - środowisko nr 139/06/OŚ/2023-P4-W



<b>Nr i nazwa stacji</b>	<b>KIE1042A</b>	
<b>Adres</b>	<b>Nowiny, dz. nr 35/447, obr. 0004, pow. kielecki, woj. świętokrzyskie</b>	
<b>Opracowanie</b>	<b>Wiesław Laskowski</b>	<b>Specjalista ds. pomiarów</b>
<b>Autoryzacja</b>	<b>Andrzej Urbański</b>	<b>Kierownik Laboratorium</b>
<b>Podpis</b>		
<b>Data</b>	<b>2023-06-30</b>	

„Bez pisemnej zgody Laboratorium niniejsze sprawozdanie nie może być powielane inaczej, jak tylko w całości. Ponadto wyniki dotyczą tylko badanych obiektów przywołanych w niniejszym sprawozdaniu z badań”

139/06/OŚ/2023-P4-W

Strona 1 z 10

## Spis treści

1. Informacje ogólne.....	3
2. Podstawa prawna. ....	3
3. Opis pomiarów.....	3
4. Zróżnicowanie dopuszczalne poziomy pól elektromagnetycznych.....	4
5. Charakterystyka źródeł PEM.....	5
6. Wyniki pomiarów.....	6
7. Stwierdzenie zgodności .....	8
8. Oświadczenie.....	8
9. Spis załączników. ....	8

## 1. Informacje ogólne.

Zleceniodawca	<b>P4 Sp. z o.o.</b> , ul. Wynałazek 1, 02-677 Warszawa osoba udzielająca informacji – Monika Bieroza
Istotne informacje dostarczone przez klienta	komplet informacji niezbędnych do wykonania pomiarów i opracowania sprawozdania
Dane otrzymane od klienta mogące mieć wpływ na ważność wyników	dane anten sektorowych, dane anten radioliniowych, parametry pracy instalacji, poprawka pomiarowa
Prowadzący instalację	<b>P4 sp. z o.o.</b> , ul. Wynałazek 1, 02-677 Warszawa
Lokalizacja obiektu	Nowiny, dz. nr 35/447, obr. 0004, pow. kielecki, woj. świętokrzyskie
Miejsce instalacji anten	komin
Miejsce instalacji urządzeń	wewnątrz komina
Osoby wykonujące pomiar	Wojciech Kaczorek - pomiarowiec
Data wykonania pomiaru	2023-06-30
Godzina rozpoczęcia pomiaru	8.10
Godzina zakończenia pomiaru	9.30
Temperatura na początku pomiaru [°C]	21
Temperatura na koniec pomiaru [°C]	21
Warunki atmosferyczne	brak opadów
Wilgotność na początku pomiaru [%]	58
Wilgotność na koniec pomiaru [%]	58
Inne źródła pól elektromagnetycznych oznaczone na załączniku graficznym	występują
Parametry pracy instalacji	eksploatacyjny

## 2. Podstawa prawna.

### 2.1 Normy i rozporządzenia:

- Obwieszczenie Ministra Klimatu i Środowiska z dnia 21 listopada 2022 r. w sprawie ogłoszenia jednolitego tekstu rozporządzenia Ministra Klimatu w sprawie sposobów sprawdzania dotrzymania dopuszczalnych poziomów pól elektromagnetycznych w środowisku (Dz.U. 2022 poz. 2630)
- Rozporządzenie Ministra Zdrowia z dnia 17 grudnia 2019 r. w sprawie dopuszczalnych poziomów pól elektromagnetycznych w środowisku (Dz.U. 2019 poz. 2448)
- Obwieszczenie Marszałka Sejmu Rzeczypospolitej Polskiej z dnia 1 grudnia 2022 r. w sprawie ogłoszenia jednolitego tekstu ustawy - Prawo ochrony środowiska (Dz.U. 2022 poz. 2556).

## 3. Opis pomiarów

Metodologia pomiarowa      Pomiary w oparciu o Rozporządzenie Ministra Klimatu z dnia 17 lutego 2020 r. w sprawie sposobów sprawdzania dotrzymania dopuszczalnych poziomów pól elektromagnetycznych w środowisku (Dz.U. 2022 poz. 2630).

Cel badań                      Określenie wartości natężenia pola elektrycznego w miejscach dostępnych dla ludności.

Opis zestawu pomiarowego	<p>Miernik Narda NBM 550, Sonda EF9091, o zakresie pomiarowym 0,7 V/m - 300V/m pracująca w paśmie 0,1 – 90 GHz, świadectwo wydane przez Laboratorium Wzorców i Metrologii Pola Elektromagnetycznego, Instytut Telekomunikacji, Teleinformatyki i Akustyki Politechniki Wrocławskiej. Świadectwo ważne do 10.06.2024r.</p> <p>Miernik Narda NBM 550, Sonda EF9091 pracująca w zakresie temperatury -10°C +50°C oraz wilgotności 5% - 95%.</p> <p>Niepewność rozszerzona 59% przy poziomie ufności 95% z uwzględnieniem współczynnika rozszerzenia k=2.</p>
Wyposażenie pomocnicze	<p>Termohigrometr Termoprodukt, typ: Termik+, Nr. inwentarzowy 43/WL, nr identyfikacyjny 1530619, świadectwo wzorcowania nr 0392/AH/20 z dn. 02.03.2020 r. wydane przez Laboratorium Pomiarowe "MUTECH".</p> <p>Dalmierz laserowy BOSH GLM 40, Nr. inwentarzowy 27/WL, nr seryjny 711425432, świadectwo wzorcowania L4-L41.4180.141.2018.3061.1 z dnia 12 września 2018 wydane przez Pracownia Długości Samodzielnego Laboratorium Długości w Głównym Urzędzie Miar.</p> <p>GPS Garmin 64s okresowo sprawdzany w punktach osnowy geodezyjnej klasy 3 na podstawie licencji punktu, zgodnie z procedurą sprawdzeń okresowych IS/PO16-11/03.</p>
Pomiary zostały wykonane	<ol style="list-style-type: none"> <li>na głównych i pomocniczych kierunkach pomiarowych, na kierunkach zbliżonych do azymutów anten oraz w dodatkowych pionach pomiarowych zgodnie z wymaganiami pkt 12, 13, 14 i 19 Rozporządzenia Ministra Klimatu z dnia 17 lutego 2020 r. (Dz.U. 2022 poz. 2630).</li> <li>na obszarze pomiarowym, dla którego, na podstawie uprzednio przeprowadzonych obliczeń stwierdzono w miejscach dostępnych dla ludności występowanie pól elektromagnetycznych o najwyższym poziomie, które pochodzą z badanej instalacji zgodnie z wymaganiami pkt 5 ppkt 2 oraz pkt 13 ppkt 1 Rozporządzenia Ministra Klimatu z dnia 17 lutego 2020 r. w sprawie sposobów sprawdzania dotrzymania dopuszczalnych poziomów pól elektromagnetycznych w środowisku (Dz.U. 2022 poz. 2630). Wyniki obliczeń nie uwzględniały parametrów pracy instalacji innych operatorów występujących na obiekcie bądź w obszarze pomiarowym.</li> <li>w miejscach dostępnych dla ludności.</li> <li>miejsca niedostępne podczas wykonywania pomiarów wskazane zostały w pkt 6 (tabeli wyniki pomiarów).</li> </ol>
Szczególne warunki podczas wykonywania pomiarów	Pomiary wykonane zostały podczas obowiązywania w kraju stanu zagrożenia epidemicznego, zgodnie z art. 122a ust. 1b Ustawy z dnia 27 kwietnia 2001 r. – Prawo ochrony środowiska (Dz. U. z 2019 r. poz. 1396, z późn. zm.9))
Warunki pracy urządzeń nadawczych	Tryb pracy eksploatacyjny.

#### 4. Zróżnicowanie dopuszczalne poziomy pól elektromagnetycznych.

Zakresy znajdują się w Dzienniku Ustaw z dnia 17 grudnia 2019 r. przedstawione są w tabeli nr 2 (Dz. U. z 2019r. poz. 2448).

Zakres częstotliwości pola elektromagnetycznego	Parametr fizyczny		
	Składowa elektryczna E (V/m)	Składowa magnetyczna H (A/m)	Gęstość mocy S (W/m <sup>2</sup> )
od 400 MHz do 2000 MHz	$1,375 \times f^{0,5}$	$0,0037 \times f^{0,5}$	f / 200
od 2 GHz do 300 GHz	61	0,16	10

## 5. Charakterystyka źródeł PEM.

Zgodnie z informacją otrzymaną od klienta pomiary zostały wykonane przy ustawieniach pochylenia anten zgodnych z pkt. 13, ppkt 2 załącznika do rozporządzenia Ministra Klimatu z dnia 17 lutego 2020 roku.

Tabela 1. Anteny sektorowe - dane otrzymane od klienta

Charakterystyka promieniowania		kierunkowa											
Rzeczywisty czas pracy [h/dobę]		24											
Rodzaj wytwarzanego pola		stacjonarne											
Lp.	Wyszczególnienie	sektor 1			sektor 2			sektor 3					
I	<b>Nadajnik stacji bazowej:</b>												
1	Typ / Producent	RBS / SRAN Ericsson											
2	Częstotliwość (pasmo) MHz	900	800	2600	2100	1800	2600	800	2100	1800	900		
3	Maksymalna moc nadawana na sektor [dBm]	47,78	49,03	52,04	51,58	51,58	52,04	49,03	53,01	53,01	47,78		
II	<b>Obciążenie:</b>												
1	Typ anteny	Huawei AMB4519R0		Huawei AMB4519R6			Huawei ATR4518R6		Huawei ATR4518R6				
2	Producent anteny	Huawei		Huawei			Huawei		Huawei				
3	Nazwa anteny	31_GTV	31_GTV	32_HLN	32_HLN	32_HLN	11_HV	11_HV	12_GHLNT	12_GHLNT	12_GHLNT		
4	Ilość anten	1		1			1		1				
5	Azymut	10		11			120						
6	Zakres kątów pochylenia anten [°]	0,00-10,00		2,00-12,00			0,00-10,00						
7	Wysokość zainst. n.p.t. [m]	66,30		66,30			66,30						
8	EIRP [W]	8235		29097			12332		22123				

Charakterystyka promieniowania		kierunkowa									
Rzeczywisty czas pracy [h/dobę]		24									
Rodzaj wytwarzanego pola		stacjonarne									
Lp.	Wyszczególnienie	sektor 4					sektor 5			sektor 6	
I	<b>Nadajnik stacji bazowej:</b>										
1	Typ / Producent										
2	Częstotliwość (pasmo) MHz	2600	800	2100	1800	900	2600	2100	1800	900	800
3	Maksymalna moc nadawana na sektor [dBm]	52,04	49,03	53,01	53,01	47,78	52,04	51,58	51,58	47,78	49,03
II	<b>Obciążenie:</b>										
1	Typ anteny	Huawei ATR4518R6		Huawei ATR4518R6			Huawei AMB4519R6			Huawei AMB4519R0	
2	Producent anteny	Huawei		Huawei			Huawei			Huawei	
3	Nazwa anteny	21_HV	21_HV	22_GHLNT	22_GHLNT	22_GHLNT	32_HLN	32_HLN	32_HLN	31_GTV	31_GTV
4	Ilość anten	1		1			1			1	
5	Azymut	240					309			310	
6	Zakres kątów pochylenia anten [°]	0,00-10,00					2,00-12,00			0,00-10,00	
7	Wysokość zainst. n.p.t. [m]	66,30					66,30			66,30	
8	EIRP [W]	12332		22123			29097			8235	

„Bez pisemnej zgody Laboratorium niniejsze sprawozdanie nie może być powielane inaczej, jak tylko w całości. Ponadto wyniki dotyczą tylko badanych obiektów przywołanych w niniejszym sprawozdaniu z badań”

Tabela 2. Anteny radioliniowe - dane otrzymane od klienta

Charakterystyka promieniowania				kierunkowa			
Rzeczywisty czas pracy [h/dobę]				24			
Rodzaj wytwarzanego pola				stacjonarne			
Lp.	Linia radiowa			Antena			
	typ/producent	częstotliwość pracy [GHz]	moc wyjściowa [dBm]	typ/producent	średnica anteny [m]	azymut [°]	wysokość zainstalowania n.p.t. [m] (środek elektryczny anteny)
1	OPTIX RTN/HUAWEI	80/23	17/25	A23S80S06/Huawei	0,6	86	96,60
2	OPTIX RTN/HUAWEI	80/23	17/25	A23S80S06/Huawei	0,6	139	97,00
3	OPTIX RTN/HUAWEI	18	28,5	VHLPX4-18/Andrew	1,2	196	97,50
4	OPTIX RTN/HUAWEI	80/23	17/25	A23S80S06/Huawei	0,6	261	96,50
5	OPTIX RTN/HUAWEI	32	26	A32D06/Huawei	0,6	299	66,00
6	OPTIX RTN/HUAWEI	13	29	VHLPX2-13/Andrew	0,6	352	97,50

## 6. Wyniki pomiarów.

Wyniki pomiarów pól elektromagnetycznych dla celów ochrony środowiska przedstawia poniższa tabela. Piony pomiarowe zostały przedstawione w zał. 2.

Nr PP	Pole-E [V/m]	Pole-E+U [V/m]	Pole-H [A/m]	Pole-H+U [A/m]	Wysokość pomiaru [m]	Współrzędne PP x, y	Opis PP	WM <sub>E</sub>	WM <sub>H</sub>
1	0,7*	1,27	0,002	0,003	0,3 - 2,0	50°48'59.79" N 20°32'24.38" E	otoczenie stacji bazowej - 100 m wzdłuż gł. osi promieniowania - GKP	0,046	0,046
2	0,7*	1,27	0,002	0,003	0,3 - 2,0	50°49'2.96" N 20°32'25.36" E	otoczenie stacji bazowej - 200 m wzdłuż gł. osi promieniowania - GKP	0,046	0,046
3	0,8	1,27	0,002	0,003	0,3 - 2,0	50°49'6.14" N 20°32'26.33" E	otoczenie stacji bazowej - 300 m wzdłuż gł. osi promieniowania - GKP	0,046	0,046
4	0,7*	1,27	0,002	0,003	0,3 - 2,0	50°49'9.32" N 20°32'27.31" E	otoczenie stacji bazowej - 400 m wzdłuż gł. osi promieniowania - GKP	0,046	0,046
5	0,7*	1,27	0,002	0,003	0,3 - 2,0	50°49'12.49" N 20°32'28.28" E	otoczenie stacji bazowej - 500 m wzdłuż gł. osi promieniowania - GKP	0,046	0,046
6	0,8	1,27	0,002	0,003	0,3 - 2,0	50°49'15.67" N 20°32'29.26" E	otoczenie stacji bazowej - 600 m wzdłuż gł. osi promieniowania - GKP	0,046	0,046
7	0,7*	1,27	0,002	0,003	0,3 - 2,0	50°49'18.85" N 20°32'30.23" E	otoczenie stacji bazowej - 700 m wzdłuż gł. osi promieniowania - GKP	0,046	0,046
8	0,7*	1,27	0,002	0,003	0,3 - 2,0	50°48'54.94" N 20°32'27.79" E	otoczenie stacji bazowej - 100 m wzdłuż gł. osi promieniowania - GKP	0,046	0,046
9	0,8	1,27	0,002	0,003	0,3 - 2,0	50°48'53.28" N 20°32'32.17" E	otoczenie stacji bazowej - 200 m wzdłuż gł. osi promieniowania - GKP	0,046	0,046
10	0,9	1,43	0,002	0,004	0,3 - 2,0	50°48'51.61" N 20°32'36.55" E	otoczenie stacji bazowej - 300 m wzdłuż gł. osi promieniowania - GKP	0,052	0,052
11	0,8	1,27	0,002	0,003	0,3 - 2,0	50°48'49.94" N 20°32'40.92" E	otoczenie stacji bazowej - 400 m wzdłuż gł. osi promieniowania - GKP	0,046	0,046
12	0,7*	1,27	0,002	0,003	0,3 - 2,0	50°48'48.28" N 20°32'45.3" E	otoczenie stacji bazowej - 500 m wzdłuż gł. osi promieniowania - GKP	0,046	0,046
13	0,7*	1,27	0,002	0,003	0,3 - 2,0	50°48'46.61" N 20°32'49.68" E	otoczenie stacji bazowej - 600 m wzdłuż gł. osi promieniowania - GKP	0,046	0,046
14	0,7*	1,27	0,002	0,003	0,3 - 2,0	50°48'44.94" N 20°32'54.06" E	otoczenie stacji bazowej - 700 m wzdłuż gł. osi promieniowania - GKP	0,046	0,046
15	0,7*	1,27	0,002	0,003	0,3 - 2,0	50°48'51.9" N 20°32'10.01" E	otoczenie stacji bazowej - 300 m wzdłuż gł. osi promieniowania - GKP	0,046	0,046
16	0,8	1,27	0,002	0,003	0,3 - 2,0	50°48'50.33" N 20°32'5.54" E	otoczenie stacji bazowej - 400 m wzdłuż gł. osi promieniowania - GKP	0,046	0,046
17	0,9	1,43	0,002	0,004	0,3 - 2,0	50°48'48.76" N 20°32'1.07" E	otoczenie stacji bazowej - 500 m wzdłuż gł. osi promieniowania - GKP	0,052	0,052

„Bez pisemnej zgody Laboratorium niniejsze sprawozdanie nie może być powielane inaczej, jak tylko w całości. Ponadto wyniki dotyczą tylko badanych obiektów przywołanych w niniejszym sprawozdaniu z badań”

Nr PP	Pole-E [V/m]	Pole-E+U [V/m]	Pole-H [A/m]	Pole-H +U [A/m]	Wysokość pomiaru [m]	Współrzędne PP x, y	Opis PP	WM <sub>E</sub>	WM <sub>H</sub>
18	0,7*	1,27	0,002	0,003	0,3 - 2,0	50°48'47.2" N 20°31'56.61" E	otoczenie stacji bazowej - 600 m wzdłuż gł. osi promieniowania - GKP	0,046	0,046
19	0,7*	1,27	0,002	0,003	0,3 - 2,0	50°48'45.63" N 20°31'52.14" E	otoczenie stacji bazowej - 700 m wzdłuż gł. osi promieniowania - GKP	0,046	0,046
20	0,7*	1,27	0,002	0,003	0,3 - 2,0	50°48'58.73" N 20°32'19.55" E	otoczenie stacji bazowej - 100 m wzdłuż gł. osi promieniowania - GKP	0,046	0,046
21	0,9	1,43	0,002	0,004	0,3 - 2,0	50°49'0.86" N 20°32'15.7" E	otoczenie stacji bazowej - 200 m wzdłuż gł. osi promieniowania - GKP	0,052	0,052
22	0,8	1,27	0,002	0,003	0,3 - 2,0	50°49'2.98" N 20°32'11.84" E	otoczenie stacji bazowej - 300 m wzdłuż gł. osi promieniowania - GKP	0,046	0,046
23	0,9	1,43	0,002	0,004	0,3 - 2,0	50°49'5.1" N 20°32'7.99" E	otoczenie stacji bazowej - 400 m wzdłuż gł. osi promieniowania - GKP	0,052	0,052
24	0,7*	1,27	0,002	0,003	0,3 - 2,0	50°48'56.72" N 20°32'25.96" E	otoczenie stacji bazowej - 50 m wzdłuż gł. osi promieniowania - GKP	0,046	0,046
25	0,7*	1,27	0,002	0,003	0,3 - 2,0	50°48'56.84" N 20°32'28.51" E	otoczenie stacji bazowej - 100 m wzdłuż gł. osi promieniowania - GKP	0,046	0,046
26	0,7*	1,27	0,002	0,003	0,3 - 2,0	50°48'55.05" N 20°32'22.71" E	otoczenie stacji bazowej - 50 m wzdłuż gł. osi promieniowania - GKP	0,046	0,046
27	0,7*	1,27	0,002	0,003	0,3 - 2,0	50°48'53.5" N 20°32'22" E	otoczenie stacji bazowej - 100 m wzdłuż gł. osi promieniowania - GKP	0,046	0,046
28	0,7*	1,27	0,002	0,003	0,3 - 2,0	50°48'56.36" N 20°32'20.89" E	otoczenie stacji bazowej - 50 m wzdłuż gł. osi promieniowania - GKP	0,046	0,046
29	0,7*	1,27	0,002	0,003	0,3 - 2,0	50°48'57.39" N 20°32'21.18" E	otoczenie stacji bazowej - 50 m wzdłuż gł. osi promieniowania - GKP	0,046	0,046
30	0,7*	1,27	0,002	0,003	0,3 - 2,0	50°48'58.18" N 20°32'18.94" E	otoczenie stacji bazowej - 100 m wzdłuż gł. osi promieniowania - GKP	0,046	0,046
31	0,7*	1,27	0,002	0,003	0,3 - 2,0	50°48'58.21" N 20°32'23.05" E	otoczenie stacji bazowej - 50 m wzdłuż gł. osi promieniowania - GKP	0,046	0,046
32	0,7*	1,27	0,002	0,003	0,3 - 2,0	50°48'59.81" N 20°32'22.7" E	otoczenie stacji bazowej - 100 m wzdłuż gł. osi promieniowania - GKP	0,046	0,046
33	0,7*	1,27	0,002	0,003	0,3 - 2,0	50°48'55.3" N 20°32'25.0" E	otoczenie stacji bazowej - 50 m wzdłuż gł. osi promieniowania - GKP	0,046	0,046
34	0,8	1,27	0,002	0,003	0,3 - 2,0	50°48'54.1" N 20°32'26.0" E	otoczenie stacji bazowej - 100 m wzdłuż gł. osi promieniowania - GKP	0,046	0,046
A	0,7*	1,27	0,002	0,003	0,3 - 2,0	50°48'59.44" N 20°32'23.3" E	ul. Przemysłowa 30, pomiar przy budynku - DPP	0,046	0,046
B	0,7*	1,27	0,002	0,003	0,3 - 2,0	50°49'3.2" N 20°32'27.4" E	ul. Perłowa 32, pomiar przy budynku - DPP	0,046	0,046

Wynik pomiaru pole - E [V/m] - maksymalna wartość chwilowa zmierzona w danym pionie pomiarowym (uśredniona na podstawie punktu 11 załącznika do Rozporządzenia Ministra Klimatu z dnia 17 lutego 2020 r. w sprawie sposobów sprawdzania dotrzymania dopuszczalnych poziomów pól elektromagnetycznych w środowisku (Dz.U. 2022 poz. 2630). Zgodnie z pkt. 7 załącznika do Rozporządzenia Ministra Klimatu z dnia 17 lutego 2020 r. w sprawie sposobów sprawdzania dotrzymania dopuszczalnych poziomów pól elektromagnetycznych w środowisku (Dz.U. 2022 poz. 2630) nie stosuje się poprawek pomiarowych.

Przyjęto najniższą dopuszczalną wartość składowej elektrycznej pola dla objętego pomiarami zakresu częstotliwości  $\min(\text{MEgr}) = 28 \text{ V/m}$  oraz składowej magnetycznej  $\min(\text{MHgr}) = 0,073 \text{ A/m}$ .

\* - wartość zmierzona poniżej zakresu akredytacji. Do obliczeń przyjęto wartość zgodną z dolną granicą akredytowanego zakresu pomiarowego metody.

GKP - główne kierunki pomiarowe

PKP - pomocnicze kierunki pomiarowe

DPP - dodatkowe punkty pomiarowe

PP - pion pomiarowy

U - niepewność pomiarowa rozszerzona, przy poziomie ufności 95%, z uwzględnieniem współczynnika rozszerzenia  $k=2$

WM<sub>E</sub> - wartość wskaźnikowa poziomu emisji pól elektromagnetycznych dla miejsc dostępnych dla ludności dla składowej elektrycznej pola

WM<sub>H</sub> - wartość wskaźnikowa poziomu emisji pól elektromagnetycznych dla miejsc dostępnych dla ludności dla składowej magnetycznej pola

## 7. Stwierdzenie zgodności

Na podstawie wytycznych podanych w Rozporządzeniu Ministra Zdrowia z dnia 17 grudnia 2019 r. w sprawie dopuszczalnych poziomów pól elektromagnetycznych w środowisku (Dz.U. 2019 poz. 2448) oraz sposobów sprawdzania dotrzymania tych poziomów zgodnie z Rozporządzeniem Ministra Klimatu z dnia 17 lutego 2020 r. w sprawie sposobów sprawdzania dotrzymania dopuszczalnych poziomów pól elektromagnetycznych w środowisku (Dz.U. 2022 poz. 2630), dotyczących źródła wymagań, które muszą być spełnione, w oparciu o zasadę podejmowania decyzji zgodną z pkt. 26 Rozporządzenia Ministra Klimatu z dnia 17 lutego 2020 r. (Dz.U. 2022 poz. 2630), na podstawie wyników pomiarów pól elektromagnetycznych wykonanych w dniu 2023-06-30 stwierdzono, że wszystkie wyniki przeprowadzonych pomiarów w danym obszarze pomiarowym oraz wyznaczone na tej podstawie wskaźniki WME oraz WMH są mniejsze od wartości dopuszczalnych – zgodnie z przepisami wydanymi na podstawie art. 122 ust. 1 ustawy z dnia 27 kwietnia 2001 r. – Prawo ochrony środowiska – załącznikiem do Rozporządzenia Ministra Klimatu i Środowiska z dnia 17 lutego 2020 r. w sprawie sposobów sprawdzania dotrzymania dopuszczalnych poziomów pól elektromagnetycznych w środowisku (Dz.U. 2022 poz. 2630, pkt 26).

## 8. Oświadczenie.

Wyniki badania odnoszą się wyłącznie do badanego obiektu.

Bez pisemnej zgody sprawozdanie nie może być powielane inaczej, jak tylko w całości.

Uwagi i zastrzeżenia przyjmowane są w formie pisemnej.

## 9. Spis załączników.

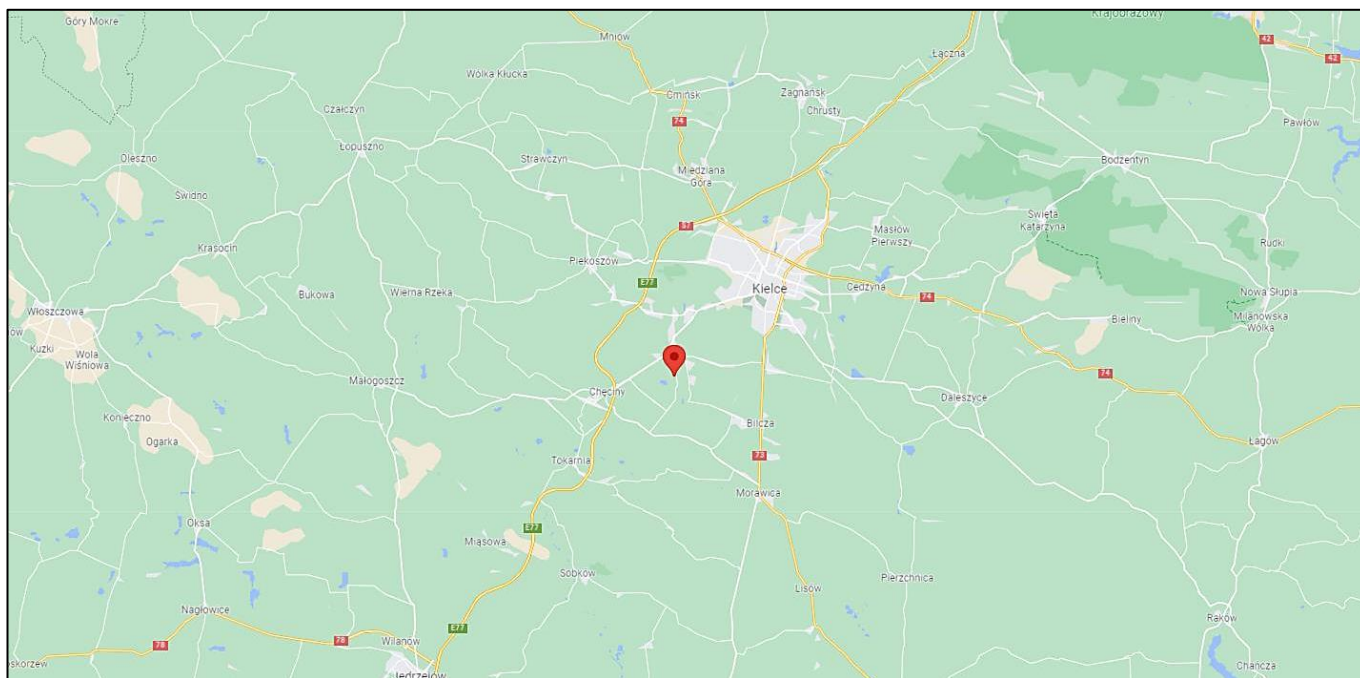
Załącznik 1. Lokalizacja obiektu.

Załącznik 2. Widok pionowy pomiarowy.

Załącznik 3. Widok stacji bazowej.

**Koniec sprawozdania**

### Załącznik 1. Lokalizacja obiektu



#### Współrzędne geograficzne

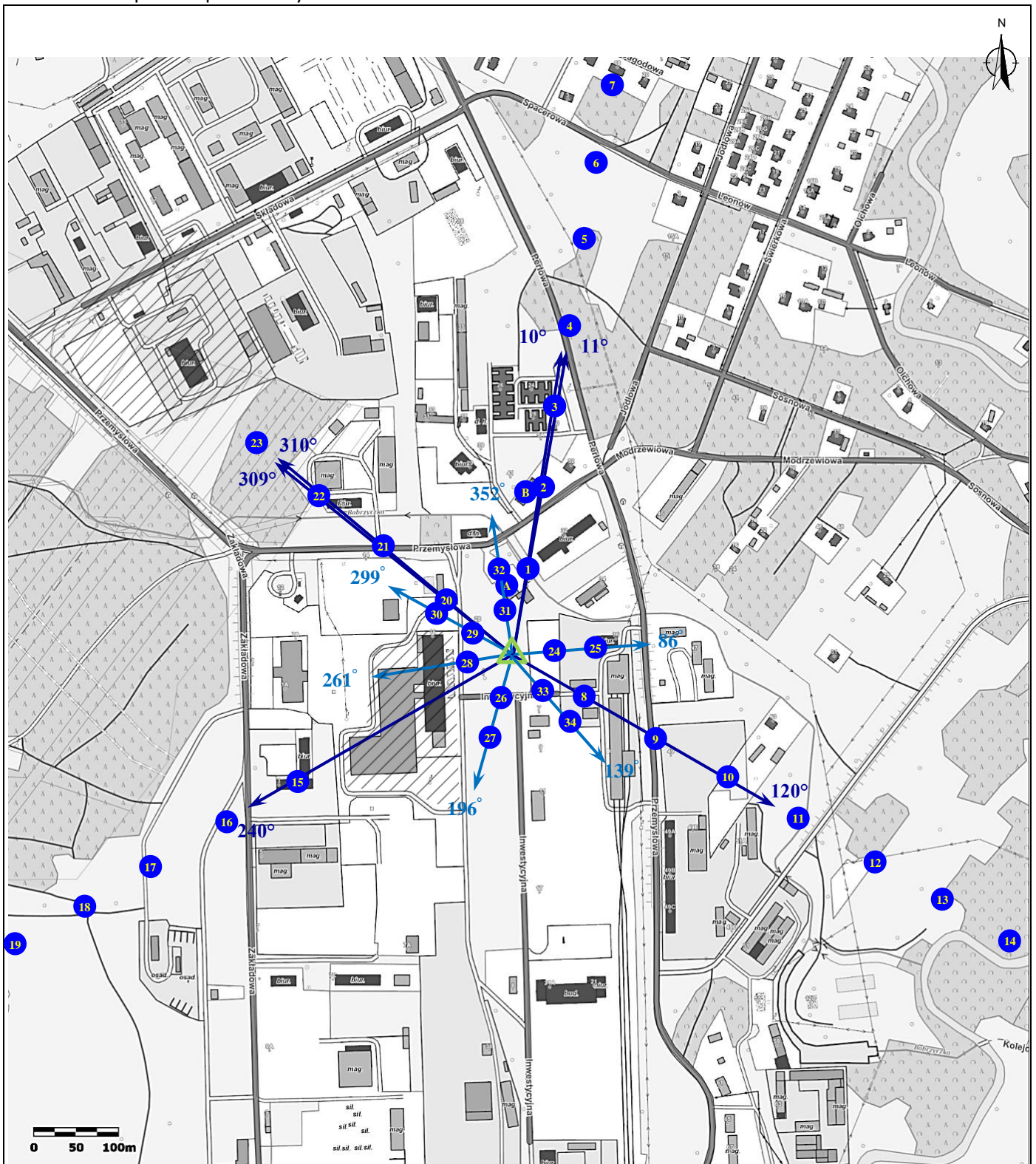
szerokość: 50°48'56.68"N

długość: 20°32'23.42"E






„Bez pisemnej zgody Laboratorium niniejsze sprawozdanie nie może być powielane inaczej, jak tylko w całości. Ponadto wyniki dotyczą tylko badanych obiektów przywołanych w niniejszym sprawozdaniu z badań”



Załącznik 2. Widok pionów pomiarowych



LEGENDA:

-  inna instalacja radiokomunikacyjna
-  brak dostępu
-  pion pomiarowy
-  antena sektorowa
-  antena radioliniowa

Skala 1: 5000

### Załącznik 3. Załączniki graficzne

